

УДК 004.8

Автоматизированный системно-когнитивный анализ факторов, влияющих на получение сердечных заболеваний

Остапцов Данил Евгеньевич
студент факультета ПИ, группы ИТ2101
dost4657@gmail.com

Кубанский государственный аграрный университет имени И.Т.Трубилина, Краснодар, Россия

Целью данной работы является изучение факторов, влияющих на получение сердечных заболеваний. Достижение данной цели представляет большой личный интерес. Для нас это позволит получить знания в работе с универсальной когнитивной аналитической системой «Эйдос-Х++», а также получить зачет. Для достижения поставленной цели применяется Автоматизированный системно-когнитивный анализ (АСК-анализ) и его программный инструментарий – интеллектуальная система «Эйдос».

Ключевые слова: АВТОМАТИЗИРОВАННЫЙ СИСТЕМНО-КОГНИТИВНЫЙ АНАЛИЗ, АСК-АНАЛИЗ, СИСТЕМА «ЭЙДОС».

Automated system-cognitive analysis of the factors influencing getting heart disease

Ostaptsov Danil Evgenyevich
student of the faculty of PI, group IT2101
dost4657@gmail.com

Kuban State Agrarian University named after I.T. Trubilin, Krasnodar, Russia

The purpose of this work is to study factors influencing getting heart disease. The achievement of this goal is of great personal interest. For us, this will allow us to gain knowledge in working with the universal analytical system "Eidos-X ++", as well as get a credit. To achieve this goal, the Automated System-Cognitive Analysis (ASK-analysis) and its software tools are used - the intelligent system "Eidos".

Key words: AUTOMATED SYSTEM-COGNITIVE ANALYSIS, ASC-ANALYSIS, "EIDOS" SYSTEM.

СОДЕРЖАНИЕ

ЗАДАЧА 1: КОГНИТИВНАЯ СТРУКТУРИЗАЦИЯ ПРЕДМЕТНОЙ ОБЛАСТИ	6
ЗАДАЧА 2: ПОДГОТОВКА ИСХОДНЫХ ДАННЫХ И ФОРМАЛИЗАЦИЯ ПРЕДМЕТНОЙ ОБЛАСТИ.....	7
ЗАДАЧА 3: СИНТЕЗ И ВЕРИФИКАЦИЯ СТАТИСТИЧЕСКИХ И СИСТЕМНО-КОГНИТИВНЫХ МОДЕЛЕЙ И ВЫБОР НАИБОЛЕЕ ДОСТОВЕРНОЙ ИЗ НИХ ДЛЯ РЕШЕНИЯ ЗАДАЧ	9
ЗАДАЧА 4: РЕШЕНИЕ РАЗЛИЧНЫХ ЗАДАЧ В НАИБОЛЕЕ ДОСТОВЕРНОЙ МОДЕЛИ	14
Подзадача 4.1. Прогнозирование (диагностика, классификация, распознавание, идентификация)	14
Подзадача 4.2. Поддержка принятия решений (SWOT-анализ)	16
Подзадача 4.3. Исследование моделируемой предметной области путем исследования ее модели	20
4.3.1. Когнитивные диаграммы классов.....	20
4.3.2. Агломеративная когнитивная кластеризация классов.....	21
4.3.3. Когнитивные диаграммы значений факторов	22
4.3.4. Агломеративная когнитивная кластеризация значений факторов	23
4.3.5. Нелокальные нейроны и нелокальные нейронные сети.....	24
4.3.6. 3d-интегральные когнитивные карты.....	26
4.3.7. Сила и направление влияния значений факторов выбора школ и сила влияния этих факторов на выбор школы.	27
7. ВЫВОДЫ.....	28
СПИСОК ЛИТЕРАТУРЫ	28

Введение

Целью данной работы является изучение факторов, влияющих на получение сердечных заболеваний.

Достижение данной цели представляет большой личный интерес. Для нас это позволит получить знания в работе с универсальной когнитивной аналитической системой «Эйдос-Х++», а также получить зачет.

АСК-анализ предполагает, что для достижения поставленной цели необходимо решить следующие задачи, которые получаются путем декомпозиции цели и являются этапами ее достижения:

Задача 1: когнитивная структуризация предметной области.

Задача 2: подготовка исходных данных и формализация предметной области.

Задача 3: синтез и верификация статистических и системно-когнитивных моделей и выбор наиболее достоверной модели.

Задача 4: решение различных задач в наиболее достоверной модели:

- подзадача 4.1. Прогнозирование (диагностика, классификация, распознавание, идентификация);
- подзадача 4.2. Поддержка принятия решений;
- подзадача 4.3. Исследование моделируемой предметной области путем исследования ее модели (когнитивные диаграммы классов и значений факторов, агломеративная когнитивная кластеризация классов и значений факторов, нелокальные нейроны и нейронные сети, 3d-интегральные когнитивные карты, когнитивные функции).

Эти задачи, по сути, представляют собой **этапы** автоматизированного системно-когнитивный анализа (АСК-анализ), который поэтому и предлагается применить для их решения.

АСК-анализ представляет собой метод искусственного интеллекта, разработанный проф. Е.В. Луценко в 2002 году для решения широкого класса задач идентификации, прогнозирования, классификации, диагностики, поддержки принятия решений и исследования моделируемой предметной области путем исследования ее модели. АСК-анализ доведен до **инновационного** уровня благодаря тому, что имеет свой программный инструментарий – универсальную когнитивную аналитическую систему «Эйдос-Х++» (система «Эйдос»).

Система «Эйдос» выгодно отличается от других интеллектуальных систем следующими параметрами:

- разработана в универсальной постановке, не зависящей от предметной области. Поэтому она является универсальной и может быть применена во многих предметных областях (<http://lc.kubagro.ru/aidos/index.htm>), в которых не требуется автоматического, т.е. без непосредственного участия человека в реальном времени решения задач идентификации, прогнозирования, принятия решений и исследования предметной области;

- находится в полном открытом бесплатном доступе (http://lc.kubagro.ru/aidos/_Aidos-X.htm), причем с актуальными исходными текстами (http://lc.kubagro.ru/_AIDOS-X.txt);

- является одной из первых отечественных систем искусственного интеллекта персонального уровня, т.е. не требует от пользователя специальной подготовки в области технологий искусственного интеллекта: «имеет нулевой порог входа» (есть акт внедрения системы «Эйдос» 1987 года) (<http://lc.kubagro.ru/aidos/aidos02/PR-4.htm>);

- обеспечивает устойчивое выявление в сопоставимой форме силы и направления причинно-следственных зависимостей в неполных зашумленных взаимозависимых (нелинейных) данных очень большой размерности числовой и не числовой природы, измеряемых в различных типах шкал (номинальных, порядковых и числовых) и в различных единицах измерения (т.е. не предъявляет жестких требований к данным, которые невозможно выполнить, а обрабатывает те данные, которые есть);

- содержит большое количество локальных (поставляемых с инсталляцией) и облачных учебных и научных Эйдос-приложений (в настоящее время их 31 и 315, соответственно) (http://lc.kubagro.ru/aidos/Presentation_Aidos-online.pdf);

- поддерживает on-line среду накопления знаний и широко используется во всем мире (<http://aidos.byethost5.com/map5.php>);

- обеспечивает мультиязычную поддержку интерфейса на 51 языке. Языковые базы входят в инсталляцию и могут пополняться в автоматическом режиме;

- наиболее трудоемкие в вычислительном отношении операции синтеза моделей и распознавания реализует с помощью графического процессора (GPU), что на некоторых задачах обеспечивает ускорение решения этих задач в несколько тысяч раз, что реально обеспечивает интеллектуальную обработку больших данных, большой информации и больших знаний (графический процессор должен быть на чипсете NVIDIA);

- обеспечивает преобразование исходных эмпирических данных в информацию, а ее в знания и решение с использованием этих знаний задач классификации, поддержки принятия решений и исследования предметной области путем исследования ее системно-когнитивной модели, генерируя при этом очень большое количество табличных и графических выходных форм (развития когнитивная графика), у многих из которых нет никаких аналогов в других системах (примеры форм можно посмотреть в работе: http://lc.kubagro.ru/aidos/aidos18_LLS/aidos18_LLS.pdf);

- хорошо имитирует человеческий стиль мышления: дает результаты анализа, понятные экспертам на основе их опыта, интуиции и профессиональной компетенции;

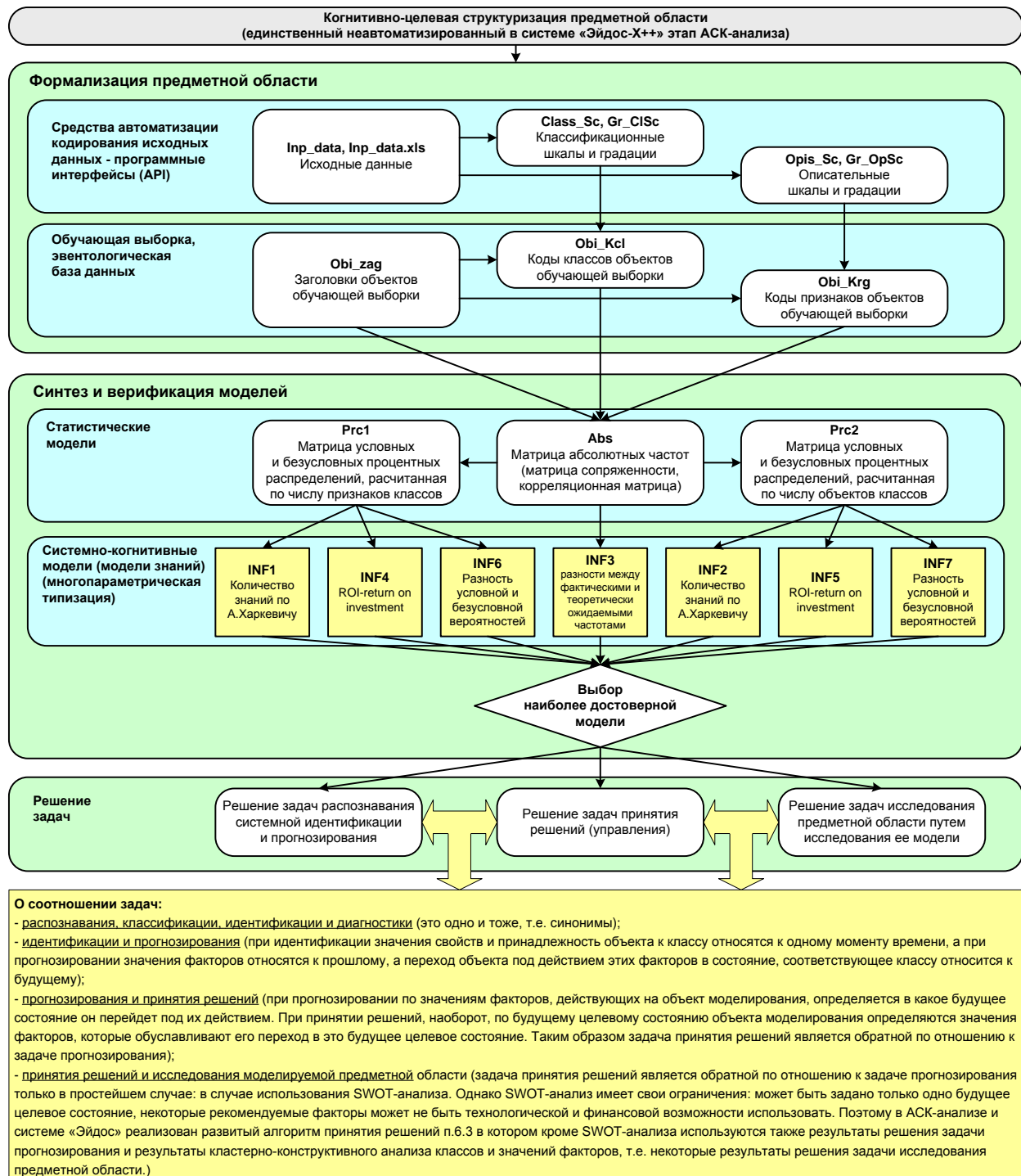
- вместо того, чтобы предъявлять к исходным данным практически неосуществимые требования (вроде нормальности распределения, абсолютной точности и полных повторностей всех сочетаний значений факторов и их полной независимости и аддитивности) автоматизированный системно-когнитивный анализ (АСК-анализ) предлагает без какой-либо предварительной обработки осмыслить эти данные и тем самым преобразовать их в информацию, а затем преобразовать эту информацию в знания путем ее применения для достижения целей (т.е. для управления) и решения задач классификации, поддержки принятия решений и содержательного эмпирического исследования моделируемой предметной области.

В чем сила подхода, реализованного в системе Эйдос? В том, что она реализует подход, эффективность которого не зависит от того, что мы думаем о предметной области и думаем ли вообще. Она формирует модели непосредственно на основе эмпирических данных, а не на основе наших представлений о механизмах реализации закономерностей в этих данных. Именно поэтому Эйдос-модели эффективны даже если наши представления о предметной области ошибочны или вообще отсутствуют.

В этом и слабость этого подхода, реализованного в системе Эйдос. Модели системы Эйдос - это феноменологические модели, отражающие эмпирические закономерности в фактах обучающей выборки, т.е. они не отражают причинно-следственного механизма детерминации, а только сам факт и характер детерминации. Содержательное объяснение этих эмпирических закономерностей формулируется уже на теоретическом уровне познания в теоретических научных законах.

Всем этим и обусловлен выбор АСК-анализа и его программного инструментария – интеллектуальной системы «Эйдос» в качестве метода и инструмента решения поставленной проблемы и достижения цели работы (рисунок 1).

**Последовательность обработки данных, информации и знаний в системе «Эйдос»,
повышение уровня системности данных, информации и знаний,
повышение уровня системности моделей**



**Рисунок 1. Последовательность решения задач
в АСК-анализе и системе «Эйдос»**

Рассмотрим решение поставленных задач в подробном численном примере.

Задача 1: когнитивная структуризация предметной области

На этапе когнитивно-целевой структуризации предметной области мы неформализуем путем решаем на качественном уровне, что будем рассматривать в качестве факторов, действующих на моделируемый объект (причин), а что в качестве результатов действия этих факторов (последствий).

При этом необходимо отметить, что системно-когнитивные модели (СК-модели) отражают лишь сам факт наличия зависимостей между значениями факторов и результатами их действия. Но они не отражают причин и механизмов такого влияния.

Это значит:

- во-первых, что содержательная интерпретация СК-моделей – это компетенция специалистов-экспертов хорошо разбирающихся в данной предметной области. Иногда встречается ситуация, когда и то, что на первый взгляд являются причинами, и то, что казалось бы является их последствиями, на самом деле является последствиями неких глубинных причин, которых мы не видим и никоим образом непосредственно не отражаем в модели;

- во-вторых, даже если содержательной интерпретации не разработано, то в принципе это не исключает возможности пользоваться ими на практике для достижения заданных результатов и поставленных целей, т.е. для управления.

В данной работе в качестве классификационных шкал выберем категорию школа (таблица 1), а в качестве факторов, влияющих на выбор школ – пол, возраст, место проживания, размер семьи, С.П. родителей, образование матери, образование отца, работа матери, работа отца, причина выбора школы, опекун, время дороги до школы, время учебы, сколько раз оставался на 2 год, дополнительные занятия после занятий, домашнее дополнительное образование, репетитор, внешкольная активность, детский сад, желание получить высшее образование, интернет, состоит в романтических отношениях, оценка семейных взаимоотношений, свободное время, частота прогулок с друзьями, употребление спиртного в будние дни, употребление спиртного в выходные, состояние здоровья, количество пропусков, балл за 1 полугодие, балл за 2 полугодие, балл за итоговую аттестацию (таблица 2):

Таблица 1 – Классификационная шкала

Код	Наименование
1	HeartDisease

Таблица 2 – Описательные шкалы

код	наименование
1	Age
2	Sex
3	ChestPainType
4	RestingBP
5	Cholesterol
6	FastingBS
7	RestingECG
8	MaxHR
9	ExerciseAngina
10	Oldpeak
11	ST_Slope

Задача 2: подготовка исходных данных и формализация предметной области

Исходные данные для данной статьи (рисунок 2) получены из самой игры, а также из других подробных таблиц по оружию в игре, найденных в интернете.

	A	B	C	D	E	F	G	H	I	J	K	L	M	N	O	P	Q	R	S	T
1	Number	Age	Sex	ChestPainType	RestingBP	Cholesterol	FastingBS	RestingECG	MaxHR	ExerciseAngina	Oldpeak	ST_Slope	HeartDisease							
2	1	40	M	ATA	140	280	0 Normal	172 N	0 Up	нормальный										
3	2	49	F	NAP	160	180	0 Normal	156 N	1 Flat	болезнь сердца										
4	3	37	M	ATA	130	283	0 ST	98 N	0 Up	нормальный										
5	4	48	F	ASY	138	214	0 Normal	108 Y	1,5 Flat	болезнь сердца										
6	5	54	M	NAP	150	195	0 Normal	122 N	0 Up	нормальный										
7	6	39	M	NAP	120	339	0 Normal	170 N	0 Up	нормальный										
8	7	45	F	ATA	130	237	0 Normal	170 N	0 Up	нормальный										
9	8	51	M	ATA	110	208	0 Normal	142 N	0 Up	нормальный										
10	9	37	M	ASY	140	207	0 Normal	130 Y	1,5 Flat	болезнь сердца										
11	10	48	F	ATA	120	281	0 Normal	120 N	0 Up	нормальный										
12	11	37	F	NAP	130	211	0 Normal	142 N	0 Up	нормальный										
13	12	38	M	ATA	136	161	0 ST	99 Y	2 Flat	болезнь сердца										
14	13	39	M	ATA	120	204	0 Normal	145 N	0 Up	нормальный										
15	14	49	M	ASY	140	234	0 Normal	140 Y	1 Flat	болезнь сердца										
16	15	42	F	NAP	115	211	0 ST	137 N	0 Up	нормальный										
17	16	54	F	ATA	120	273	0 Normal	150 N	1,5 Flat	нормальный										
18	17	38	M	ASY	110	190	0 Normal	166 N	0 Flat	болезнь сердца										
19	18	43	F	ATA	120	201	0 Normal	165 N	0 Up	нормальный										
20	19	60	M	ASY	100	248	0 Normal	125 N	1 Flat	болезнь сердца										
21	20	36	M	ATA	120	267	0 Normal	160 N	3 Flat	болезнь сердца										
22	21	43	F	TA	100	223	0 Normal	142 N	0 Up	нормальный										
23	22	44	M	ATA	120	184	0 Normal	142 N	1 Flat	нормальный										
24	23	49	F	ATA	124	201	0 Normal	164 N	0 Up	нормальный										
25	24	44	M	ATA	150	288	0 Normal	150 Y	3 Flat	болезнь сердца										
26	25	40	M	NAP	130	215	0 Normal	138 N	0 Up	нормальный										
27	26	36	M	NAP	130	209	0 Normal	178 N	0 Up	нормальный										
28	27	53	M	ASY	124	260	0 ST	112 Y	3 Flat	нормальный										
29	28	52	M	ATA	120	284	0 Normal	118 N	0 Up	нормальный										
30	29	53	F	ATA	113	468	0 Normal	127 N	0 Up	нормальный										

Рисунок 2 – Исходные данные для ввода в систему «Эйдос»

Затем с параметрами, показанными на рисунке 3, запустим режим 2.3.2.2 системы «Эйдос», представляющий собой автоматизированный программный интерфейс (API) с внешними данными табличного типа.

ИНФОРМАЦИЯ О РАЗМЕРНОСТИ МОДЕЛИ						
Суммарное количество градаций классификационных и описательных шкал: [3 x 495]						
Тип шкалы	Количество классификационных шкал	Количество градаций классификационных	Среднее количество градаций на класс. шкалу	Количество описательных шкал	Количество градаций описательных шкал	Среднее количество градаций на опис. шкалу
Числовые	0	0	0,00	0	0	0,00
Текстовые	1	3	3,00	11	495	45,00
ВСЕГО:	1	3	3,00	11	495	45,00

Задайте число интервалов (градаций) в шкале:

Пересчитать шкалы и градации Выйти на создание модели

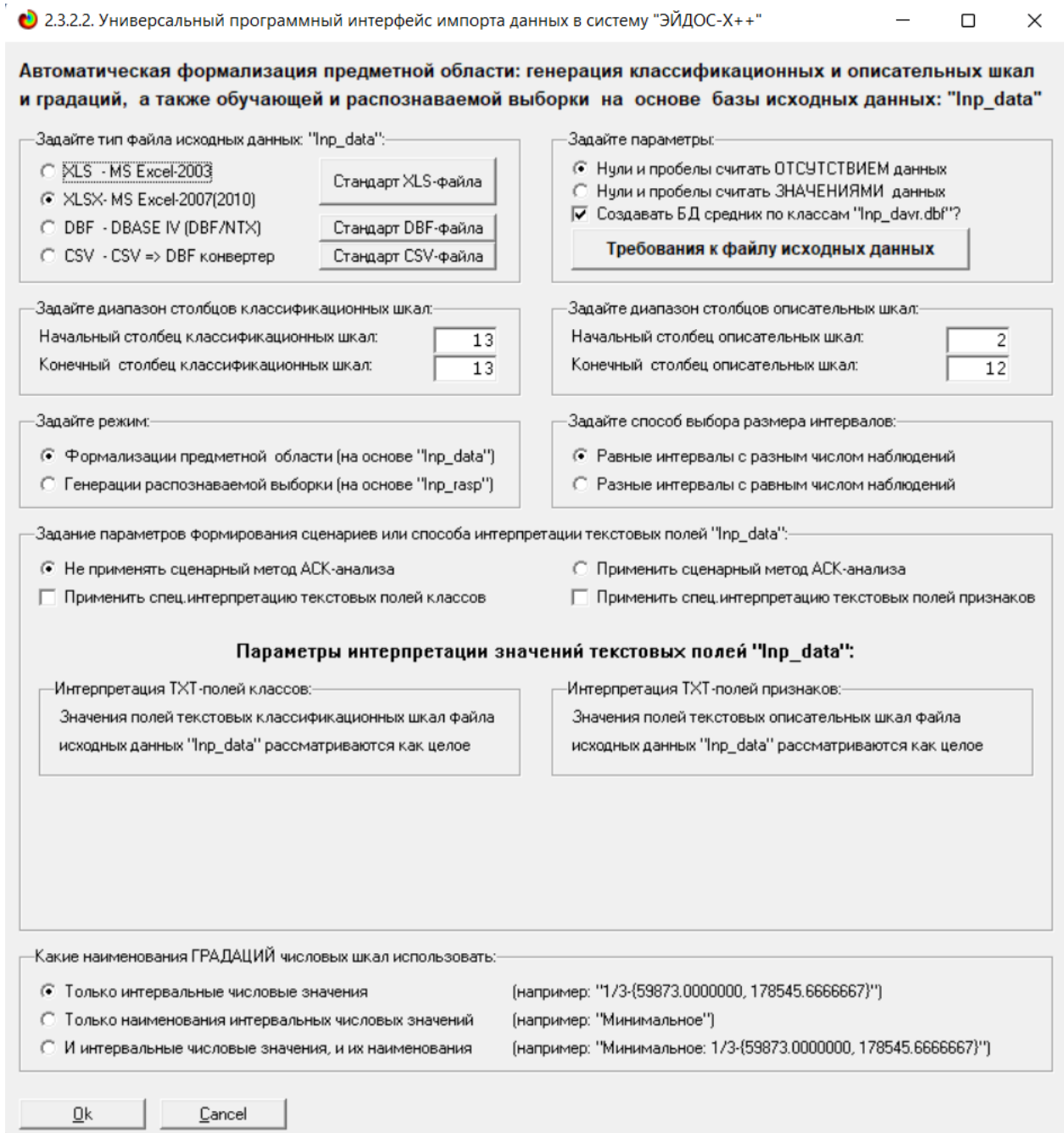


Рисунок 3. Экранные формы программного интерфейса (API) 2.3.2.2 системы «Эйдос» с внешними данными табличного типа

Обратим внимание на то, что заданы аддитивные интервалы, учитывающее неравномерность распределения данных по диапазону значений, что важно при относительно небольшом числе наблюдений. Если бы интервалы были заданы равными по величине, то в них бы учитывалось сильно отличающееся число наблюдений, а в некоторых интервалах их бы могло не оказаться вовсе. В описательных шкалах задано 3 числовых интервальных значения.

На рисунке 4 приведен Help данного режима, в котором объясняется принцип организации таблицы исходных данных для данного режима. Здесь

же обратим внимание на то, что в таблице 3 значения параметров могут быть представлены как числовыми, так и текстовыми значениями.



Рисунок 4. Экранная форма HELP программного интерфейса (API) 2.3.2.2

В результате работы режима сформирована 1 классификационная шкала с суммарным количеством градаций 2 и 5 описательных шкал с суммарным числом градаций 14

Таким образом, созданы все необходимые и достаточные условия для выполнения следующего этапа АСК-анализа: т.е. для синтеза и верификации моделей.

Задача 3: синтез и верификация статистических и системно-когнитивных моделей и выбор наиболее достоверной из них для решения задач

Синтез и верификация статистических и системно-когнитивных моделей (СК-моделей) моделей осуществляется в режиме 3.5 системы «Эйдос» (рисунок 5).

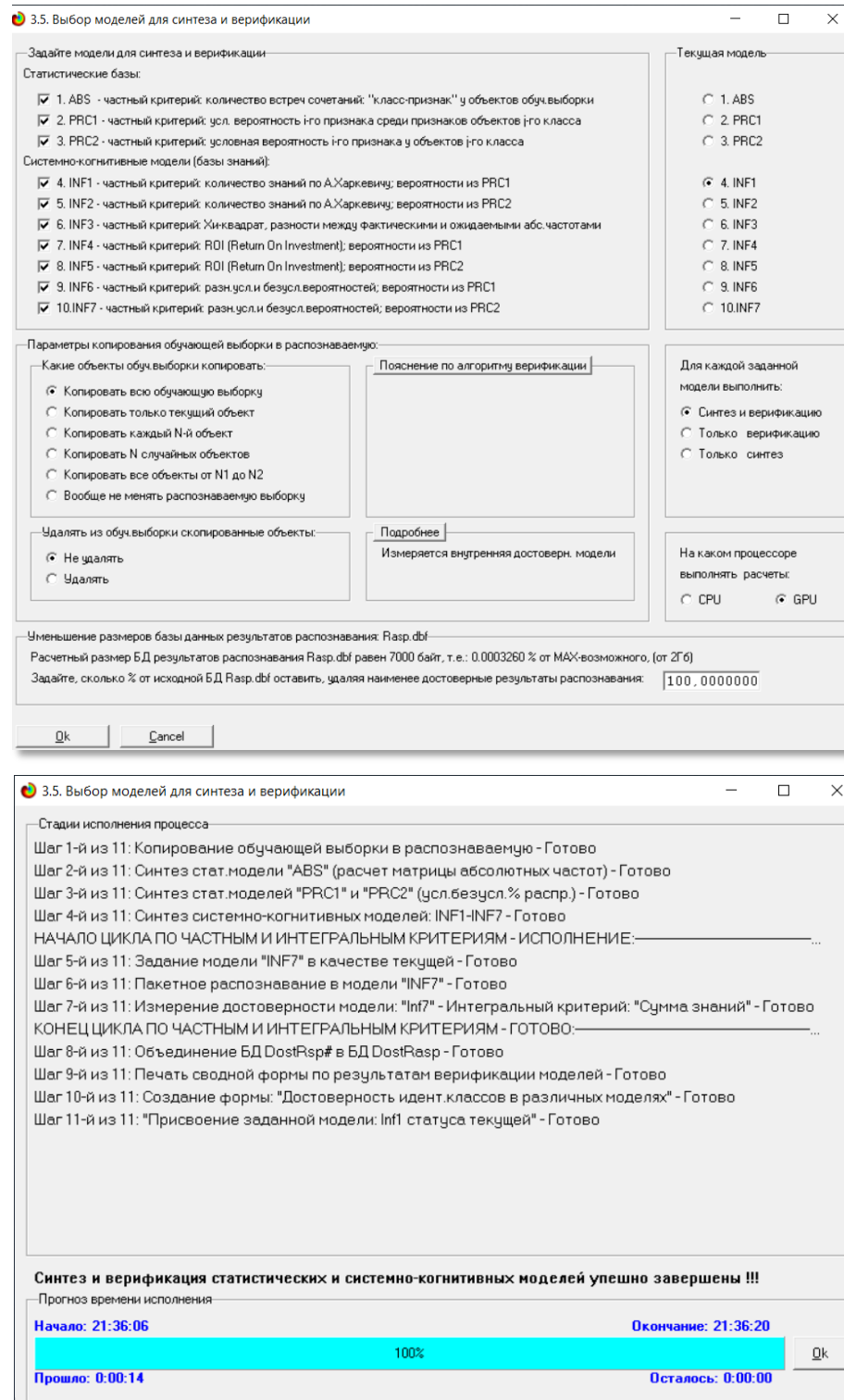


Рисунок 5. Экранные формы режима синтеза и верификации статистических и системно-когнитивных моделей системы «Эйдос»

Обратим внимание на то, что на рисунке 5 в правом нижнем углу окна задана опция: «Расчеты проводить на графическом процессоре (GPU)».

Из рисунка 5 видно, что весь процесс синтеза и верификации моделей занял 14 секунд. Отметим, что при синтезе и верификации моделей использовался графический процессор (GPU) видеокарты. На центральном процессоре (CPU) выполнение этих операций занимает значительно большее

время (на некоторых задачах это происходит в десятки, сотни и даже тысячи раз дольше). Таким образом, неграфические вычисления на графических процессорах видеокарты делает возможной обработку больших объемов исходных данных за разумное время. В процесс синтеза и верификации моделей осуществляется также расчет 10 выходных форм, на что уходит более 99% времени исполнения.

Отметим, что в АСК-анализе и СК-моделях степень выраженности различных свойств объектов наблюдения рассматривается с единственной точки зрения: с точки зрения того, какое **количество информации** содержится в них о том, к каким обобщающим категориям (классам) будут принадлежать или не принадлежать эти объекты. Поэтому не играет никакой роли, в каких единицах измерения измеряются те или иные свойства объектов наблюдения, а также в каких единицах измеряются результаты влияния этих свойств, натуральных, в процентах или стоимостных. Это и есть решение проблемы сопоставимости в АСК-анализе и системе «Эйдос», отличающее их от других интеллектуальных технологий.

Верификация статистических и системно-когнитивных моделей

Оценка достоверности моделей в системе «Эйдос» осуществляется путем решения задачи классификации объектов обучающей выборки по обобщенным образам классов и подсчета количества истинных положительных и отрицательных, а также ложных положительных и отрицательных решений по F-мере Ван Ризбергена, а также по критериям L1-L2-мерам проф. Е.В.Луценко, которые предложены для того, чтобы смягчить или полностью преодолеть некоторые недостатки F-меры. В режиме 3.4 системы «Эйдос» изучается достоверность каждой частной модели в соответствии с этими мерами достоверности (рисунок 8).

3.4. Обобщ форма по достоверности моделей при разн. критериях. Текущая модель: "INH 5"													
Наименование модели и частного критерия	Интегральный критерий	Число ложно-отрицательных решений (FN)	Точность модели	Полнота модели	F-мера Ван Ризбергена	Сумма моделей, уровней скор. истинно-отриц. решений (STP)	Сумма моделей, уровней скор. истинно-отриц. решений (STN)	Сумма моделей, уровней скор. ложно-полож. решений (SFP)	Сумма моделей, уровней скор. ложно-отриц. решений (SNF)	S-Точность модели	S-Полнота модели	L1-мера проф. Е.В.Луценко	
1. ABS - частный критерий: количество встреч совпадений, "лес"	Коэффициент abs. частоты с общ. ...	36	0.925	0.963	0.943	579.298	8.172	13.075	6.399	0.968	0.982	0.378	
2. ABS - частный критерий: количество встреч совпадений, "лес"	Сумма abs. частот по признакам...	0.902	1.000	0.948	670.800	50.905	0.929	1.000	0.963	0.929	1.000	0.393	
3. PRCT - частный критерий: для вероятности Гаусса прямая связь	Коэффициент корреляции от частоты с. о.	36	0.925	0.963	0.943	579.298	8.172	13.075	6.399	0.968	0.983	0.378	
4. PRCT - частный критерий: условная вероятность Гаусса прямая связь	Сумма условных частот по признакам...	0.903	1.000	0.948	730.857	54.724	0.930	1.000	0.964	0.930	1.000	0.364	
5. PRCT - частный критерий: условная вероятность Гаусса прямая связь	Коэффициент корреляции от частоты с. о.	36	0.925	0.961	0.943	579.298	8.172	13.075	6.399	0.968	0.983	0.378	
6. PRCT - частный критерий: условная вероятность Гаусса прямая связь	Сумма условных частот по признакам...	0.902	1.000	0.948	730.867	54.724	0.930	1.000	0.964	0.930	1.000	0.364	
7. INF1 - частный критерий: количества знаний по А.Дарзевичу, в...	Семантический резонанс зна...	125	0.988	0.864	0.922	439.199	54.529	3.657	38.906	0.992	0.919	0.994	
8. INF1 - частный критерий: количества знаний по А.Дарзевичу, в...	Сумма знаний	248	0.991	0.730	0.843	197.725	60.112	1.163	61.506	0.994	0.763	0.863	
9. INF2 - частный критерий: количества знаний по А.Дарзевичу, в...	Семантический резонанс зна...	125	0.988	0.864	0.922	439.199	54.529	3.657	38.906	0.992	0.919	0.994	
10. INF2 - частный критерий: количества знаний по А.Дарзевичу, в...	Сумма знаний	248	0.991	0.730	0.843	197.725	60.112	1.163	61.506	0.994	0.763	0.863	
11. INF3 - частный критерий: Хиквадрат, различия между фактами...	Семантический резонанс зна...	135	0.989	0.853	0.916	468.852	58.520	4.257	47.218	0.991	0.909	0.948	
12. INF3 - частный критерий: Хиквадрат, различия между фактами...	Сумма знаний	135	0.909	0.053	0.916	468.052	50.520	4.257	47.210	0.991	0.909	0.948	
13. INF4 - частный критерий: ROI (Return On Investment); вероятно...	Сумма знаний	142	0.989	0.845	0.913	456.196	56.827	3.830	42.928	0.992	0.914	0.951	
14. INF4 - частный критерий: ROI (Return On Investment); вероятно...	Сумма знаний	150	0.990	0.837	0.907	358.711	46.028	2.637	35.176	0.993	0.911	0.960	
15. INF5 - частный критерий: ROI (Return On Investment); вероятно...	Сумма знаний	142	0.989	0.845	0.913	456.196	56.827	3.830	42.928	0.992	0.914	0.951	
16. INF5 - частный критерий: ROI (Return On Investment); вероятно...	Сумма знаний	150	0.990	0.837	0.907	358.711	46.028	2.637	35.176	0.993	0.911	0.950	
17. INF6 - частный критерий: разн. усл. и без усл. вероятностей, вер...	Семантический резонанс зна...	135	0.989	0.853	0.916	468.852	58.520	4.257	47.218	0.991	0.909	0.948	
18. INF6 - частный критерий: разн. усл. и без усл. вероятностей, вер...	Сумма знаний	135	0.989	0.853	0.916	414.672	51.293	3.490	43.594	0.992	0.905	0.946	
19. INF7 - частный критерий: разн. усл. и без усл. вероятностей, вер...	Семантический резонанс зна...	135	0.989	0.853	0.916	468.852	58.520	4.257	47.210	0.991	0.909	0.946	
20. INF7 - частный критерий: разн. усл. и без усл. вероятностей, вер...	Сумма знаний	135	0.989	0.853	0.916	414.672	51.293	3.490	43.594	0.992	0.905	0.946	

Рисунок 8. Экранная форма с информацией о достоверности моделей по F-критерию Ван Ризбергена и L1-критерию проф. Е.В.Луценко

Из рисунка 8 мы видим, что в данном интеллектуальном приложении по F-критерию Ван Ризбергена наиболее достоверной является СК-модель INF3 с интегральным критерием «Сумма знаний» ($F=0,953$ при максимуме 1,000), что является довольно хорошим результатом, по критерию L1 проф. Е.В.Луценко та же модель является наиболее достоверной ($L1=0,993$ при максимуме 1,000), что является отличным результатом.

Это подтверждает наличие и адекватное отражение в СК-модели INF3 сильной причинно-следственной зависимости между фактом заболевания и данных о пациентах.

На рисунке 9 приведено частотное распределения числа истинных и ложных положительных и отрицательных решений по результатам идентификации факторов, влияющих на выбор школы в СК-модели INF3 по данным обучающей выборки:



Рисунок 9. Частотные распределения числа истинных и ложных положительных и отрицательных решений и их разности в СК-модели Inf3

Рисунок 9 содержит изображения двух частотных распределений, похожих на нормальные, сдвинутых относительно друг друга по фазе.

Левое распределение, большее по амплитуде включает истинно-отрицательные и ложноположительные решения, а правое, меньшее по амплитуде, включает ложные отрицательные и истинно-положительные решения.

Сдвиг этих распределений относительно друг друга и другие различия между ними и позволяют решать задачу идентификации вида школ по их характеристикам и другие задачи.

Видно, что для отрицательных решений количество истинных решений всегда значительно превосходит количество ложных решений, причем при уровнях различия больше примерно 5% ложные отрицательные решения вообще практически отсутствуют.

Видно также, что для положительных решений картина более сложная и включает 3 диапазона уровней сходства

1) при уровнях сходства от -100% до -44% количество истинно ложных решений меньше числа истинных;

2) при уровнях сходства от -44% до примерно 7% есть и истинные и ложные положительные решения, но число ложных решений больше числа истинных и доля истинных решений уменьшается при увеличении уровня сходства;

3) при уровнях сходства выше 7% ложные положительные решения не встречаются.

На рисунке 10 приведен Help по режиму 3.4, в котором описаны меры достоверности моделей, применяемые в системе «Эйдос»:

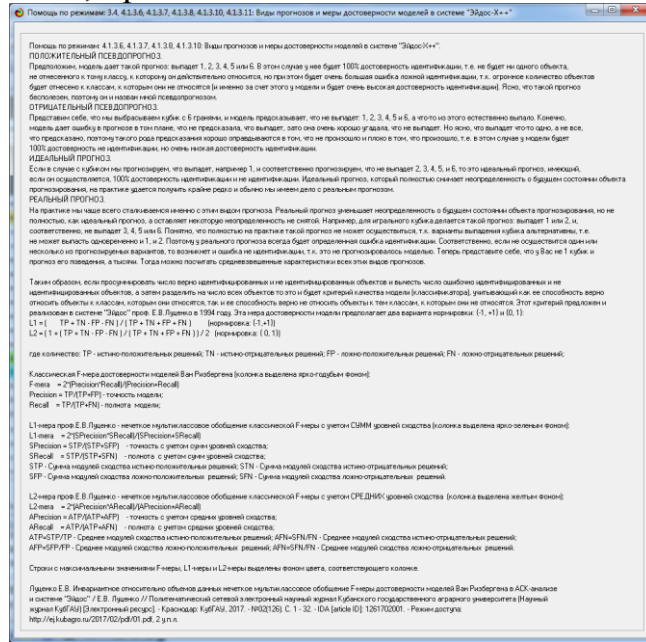


Рисунок 10. Экранная форма с информацией о достоверности моделей по F-критерию Van Rизбергена и L1- и L2-критериям проф. Е.В.Луценко

Выбор наиболее достоверной модели и присвоение ей статуса текущей

В соответствии со схемой обработки данных, информации и знаний в системе «Эйдос» (рисунок 1), присвоим СК-модели INF3 статус текущей модели. Для этого запустим режим 5.6 с параметрами, приведенными на экранной форме (рисунок 11):

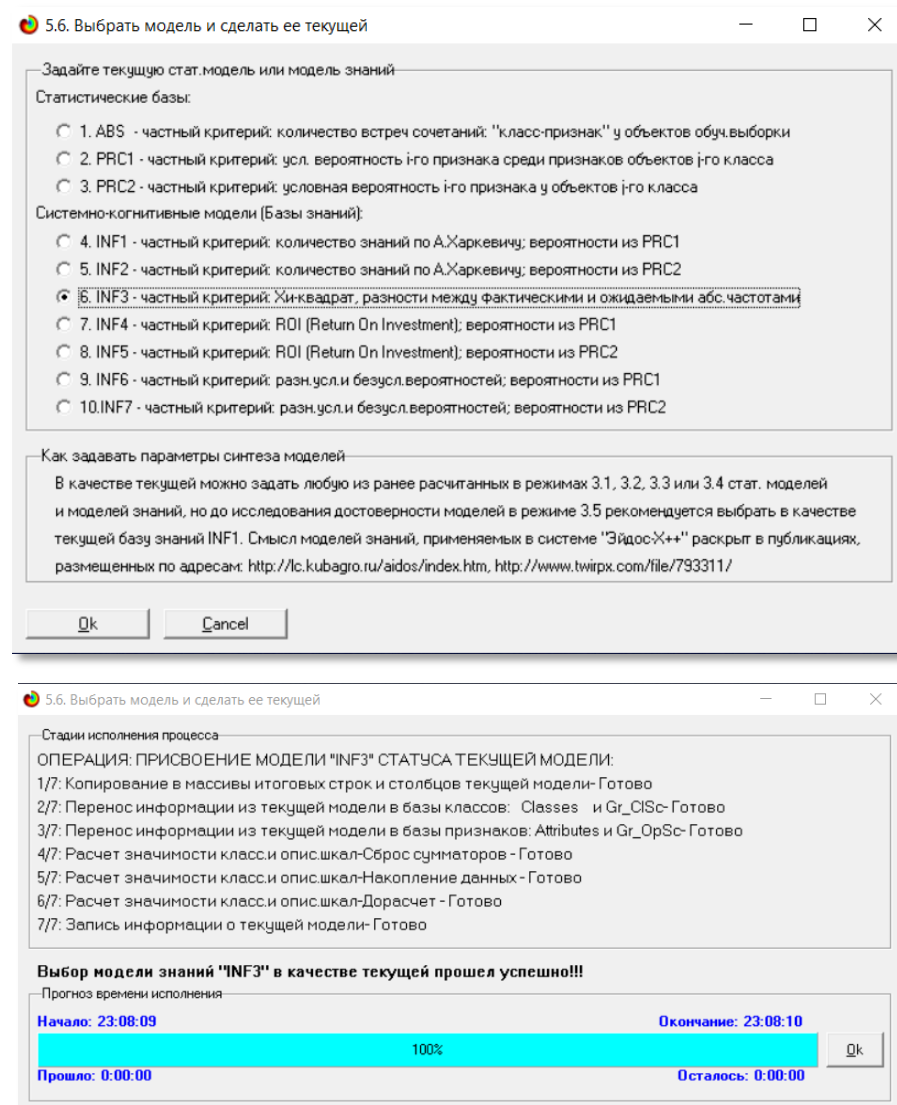


Рисунок 11. Экранные формы придания наиболее достоверной СК-модели Inf3 статуса текущей модели

Задача 4: решение различных задач в наиболее достоверной модели

Подзадача 4.1. Прогнозирование (диагностика, классификация, распознавание, идентификация)

Решим задачу системной идентификации, т.е. определение факта заболевания на основе обучающей выборки в наиболее достоверной СК-модели INF3 на GPU (рисунок 12).

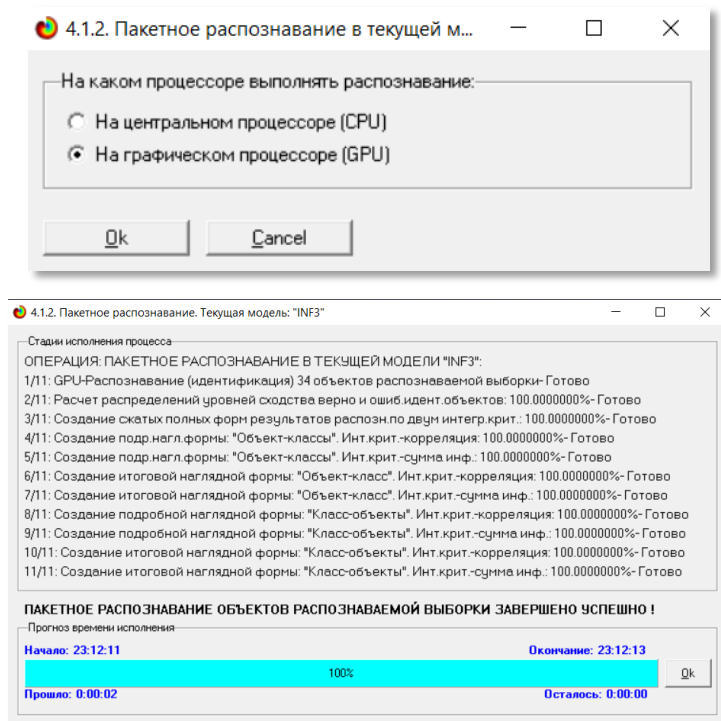


Рисунок 12. Экранные формы, которые отображают процесс решения задачи системной идентификации в текущей модели

Из рисунка 12 видно, что процесс идентификации занял 2 секунды.

Отметим, что 99% этого времени заняла не сама идентификация на GPU, а создание 10 выходных форм на основе результатов этого прогнозирования. Эти формы отражают результаты прогнозирования в различных разрезах и обобщениях:

Приведем две из этих 10 форм: 4.1.3.1 и 4.1.3.2 (рисунок 13).

Распознаваемые объекты			
Код	Название объекта	Дата	Вр.
1			
2			
3			
4			
5			
6			
7			
8			
9			
10			
11			
12			
13			
14			
15			
16			
17			
18			
19			
20			
21			
22			
23			
24			
25			
26			
27			
28			
29			
30			
31			
32			

Интегральный критерий сходства: "Семантический резонанс знаний"						
Код	Название класса	Сходство	Ф.	Сходство	Дата	Время
2	HEARTDISEASE нормальный	66.67...	v	<div style="width: 100%; background-color: red;">██████████</div>	21.01.2022	22:47:19
1	HEARTDISEASE болезнь сердца	-66.67...		<div style="width: 100%; background-color: blue;">██████████</div>	21.01.2022	22:47:19

Интегральный критерий сходства: "Сумма знаний"						
Код	Название класса	Сходство	Ф.	Сходство	Дата	Время
2	HEARTDISEASE нормальный	66.67...	v	<div style="width: 100%; background-color: red;">██████████</div>	21.01.2022	22:47:19
1	HEARTDISEASE болезнь сердца	-66.67...		<div style="width: 100%; background-color: blue;">██████████</div>	21.01.2022	22:47:19

Помощь 9 классов Классы с MaxMin UpCx 9 классов с MaxMin UpCx Всё классы ВКЛ. фильтр по класс шкале ВыКЛ.фильтр по класс шкале Графдиграммы

The screenshot shows a software window titled "4.1.3.2. Визуализация результатов распознавания в отношении: 'Класс-объекты'. Текущая модель: 'INF3'". It displays three separate search results tables:

- Классы** (Classes) table:

Код	Начн. класса	Дата	Время
1	HEARTDISEASE-болезнь сердца		
2	HEARTDISEASE-нормальный		
- Интегральный критерий сходства: "Семантический резонанс знаний"** (Integral criterion of similarity: "Semantic resonance of knowledge") table:

Код	Наименование объекта	Сходство	Ф...	Сходство	Дата	Время
27	27	100.00	v	100.00	21.01.2022	22:47:20
60	60	100.00	v	100.00	21.01.2022	22:47:20
69	69	100.00	v	100.00	21.01.2022	22:47:20
101	101	100.00	v	100.00	21.01.2022	22:47:20
133	133	100.00	v	100.00	21.01.2022	22:47:20
134	134	100.00	v	100.00	21.01.2022	22:47:20
142	142	100.00	v	100.00	21.01.2022	22:47:20
143	143	100.00	v	100.00	21.01.2022	22:47:20
167	167	100.00	v	100.00	21.01.2022	22:47:20
190	190	100.00	v	100.00	21.01.2022	22:47:20
249	249	100.00	v	100.00	21.01.2022	22:47:20
349	349	100.00	v	100.00	21.01.2022	22:47:20
354	354	100.00	v	100.00	21.01.2022	22:47:20
381	381	100.00	v	100.00	21.01.2022	22:47:20
- Интегральный критерий сходства: "Сущность знаний"** (Integral criterion of similarity: "Entity of knowledge") table:

Код	Наименование объекта	Сходство	Ф...	Сходство	Дата	Время
27	27	100.00	v	100.00	21.01.2022	22:47:20
60	60	100.00	v	100.00	21.01.2022	22:47:20
69	69	100.00	v	100.00	21.01.2022	22:47:20
101	101	100.00	v	100.00	21.01.2022	22:47:20
133	133	100.00	v	100.00	21.01.2022	22:47:20
134	134	100.00	v	100.00	21.01.2022	22:47:20
142	142	100.00	v	100.00	21.01.2022	22:47:20
143	143	100.00	v	100.00	21.01.2022	22:47:20
167	167	100.00	v	100.00	21.01.2022	22:47:20
190	190	100.00	v	100.00	21.01.2022	22:47:20
249	249	100.00	v	100.00	21.01.2022	22:47:20
349	349	100.00	v	100.00	21.01.2022	22:47:20
354	354	100.00	v	100.00	21.01.2022	22:47:20
381	381	100.00	v	100.00	21.01.2022	22:47:20

At the bottom of the interface, there are buttons for navigating between tables, searching, printing, and exiting.

Рисунок 13. Выходные формы по результатам идентификации вида оружия по его характеристикам

Символ « \checkmark » стоит против тех результатов идентификации, которые подтвердились на опыте, т.е. соответствуют факту. Из рисунка 13 видно, что результаты идентификации являются отличными, естественно при учете информации из рисунка 9 о том, что достоверные прогнозы в данной модели имеют уровень сходства выше 42%, т.е., по сути, результаты с более низким уровнем сходства надо просто игнорировать.

Подзадача 4.2. Поддержка принятия решений (SWOT-анализ)

При принятии решений определяется сила и направление влияния значений факторов на принадлежность состояний объекта моделирования к тем или иным классам, соответствующим различным будущим состояниям. По сути, это решение задачи SWOT-анализа.

Применительно к задаче, решаемой в данной работе, SWOT-анализ показывает степень влияния различных значений характеристик оружия на его вид.

В системе «Эйдос» в режиме 4.4.8 поддерживается решение этой задачи. При этом **выявляется система детерминации заданного класса**, т.е. система значений факторов, обуславливающих переход объекта моделирования и управления в состояние, соответствующее данному классу, а также препятствующих этому переходу.

На рисунках 14 приведены SWOT-диаграммы наглядно отражающие значение факторов, влияющих на выбор школы.

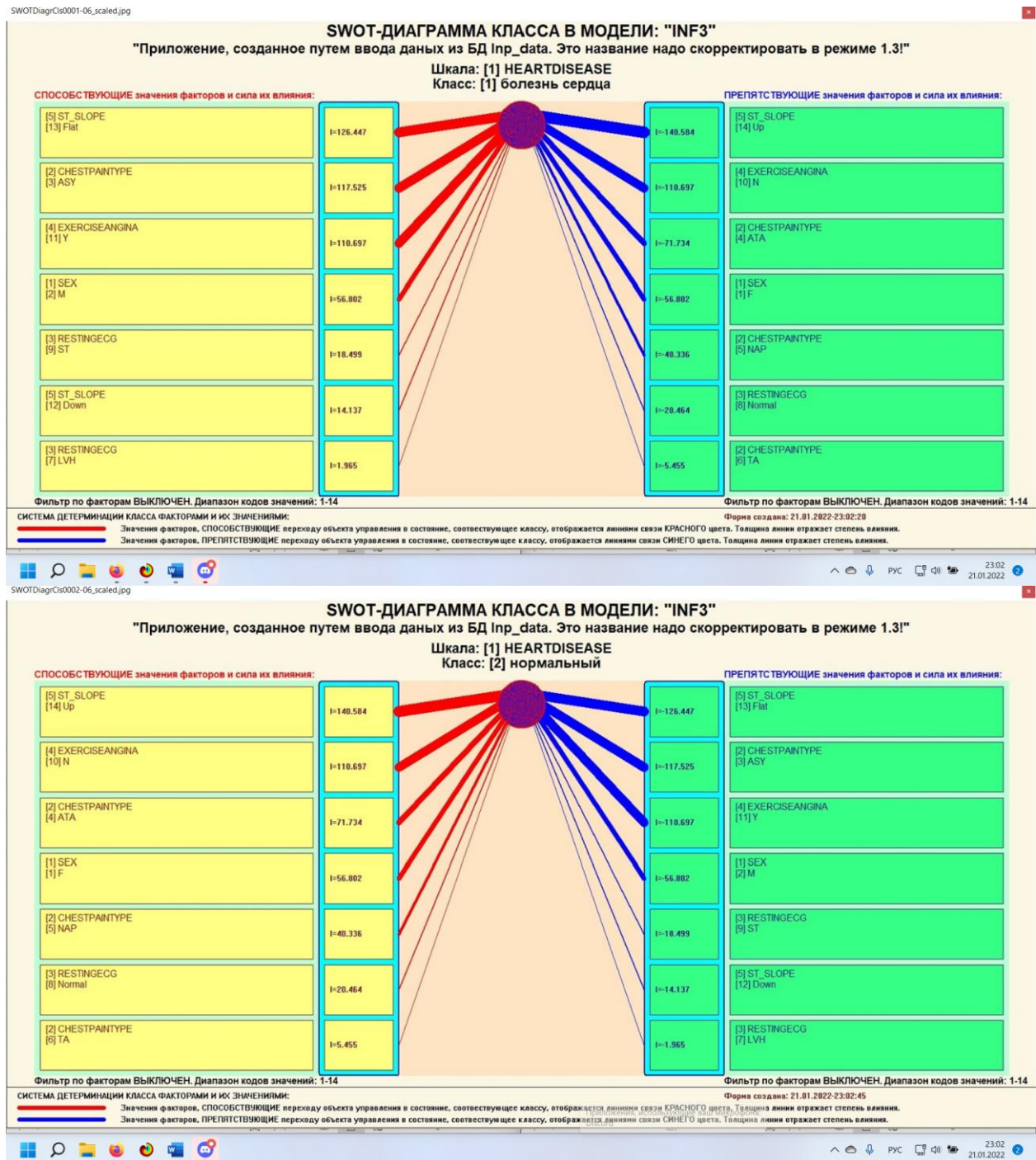


Рисунок 14. SWOT-диаграммы детерминации факта заболевания

Эти SWOT-диаграммы наглядно отражают силу и направление влияния различных значений характеристик оружия на его вид.

Отметим также, что система «Эйдос» обеспечивала решение этой задачи *всегда*, т.е. даже в самых ранних DOS-версиях и в реализациях системы «Эйдос» на других языках и типах компьютеров. Например, первый акт внедрения системы «Эйдос», где об этом упоминается в явном виде, датируется 1987 годом, а первый подобный расчет относится к 1981 году.



Настоящий акт составлен комиссией в составе: Кириченко М.М., Ляшко Г.А., Самсонов Г.А., Коренец В.И., Луценко Е.В. в том, что в соответствии с договором о научно-техническом сотрудничестве между Северо-Кавказским филиалом ВНИЦ "АИУС-агроресурсы" и Краснодарским сектором Института социологических исследований АН СССР Северо-Кавказским филиалом ВНИЦ "АИУС-агроресурсы" выполнены следующие работы:

- осуществлена постановка задачи: "Обработка на ЭВМ социологических анкет Крайагропрома";
- разработаны математическая модель и программное обеспечение подсистемы распознавания образов, позволяющие решать данную задачу в среде персональной технологической системы ВЕГА-М;
- на профессиональной персональной ЭВМ "Искра-226" осуществлены расчеты по задаче в объеме:

Входная информация составила 425 анкет по 9-ти предприятиям.
Выходная информация - 4 вида выходных форм объемом 90 листов формата А3 и 20 листов формата А4 содержит:

- процентное распределение ответов в разрезе по социальным типам корреспондентов;
- распределение информативностей признаков (в битах) для распознавания социальных типов корреспондентов;
- позитивные и негативные информационные портреты 30-ти социальных типов на языке 212 признаков;
- обобщенная характеристика информативности признаков для выбора такого минимального набора признаков, который содержит максимум информации о распознаваемых объектах (оптимизация анкет).

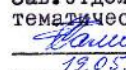
Работы выполнены на высоком научно-методическом уровне и в срок.

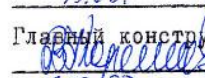
От ИСИ АН СССР:

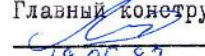
Мл. научный сотрудник
 М.М. Кириченко
19.05.1987г.

Мл. научный сотрудник
 Г.А. Ляшко
19.05.1987г.

От СКФ ВНИЦ "АИУС-агроресурсы":

Зав. отделом аэрокосмических и тематических изысканий №4, к.э.н.
 Г.А. Самсонов
19.05.1987г.

Главный конструктор проекта
 В.И. Коренец
19.05.1987г.

Главный конструктор проекта
 Е.В. Луценко
19.05.1987г.

Но тогда SWOT-диаграммы назывались позитивным и негативным информационными портретами классов.

Информация о системе значений факторов, обуславливающих переход объекта моделирования в различные будущие состояния, соответствующие классам, может быть приведена не только в диаграммах, показанных на рисунках 14, но и во многих других табличных и графических формах, которые в данной работе не приводятся только из-за ограниченности ее объема. В частности в этих формах может быть выведена значительно более полная информация (в т. ч. вообще вся имеющаяся в модели). Подобная подробная информация содержится в базах данных, расположенных по пути: \Aidos-X\AID_DATA\A0000001\System\SWOTCls####Inf3.DBF, где: «####» – код класса с ведущими нулями. Эти базы открываются в MS Excel.

На рисунке 15 приведены примеры нескольких инвертированных SWOT-диаграмм.

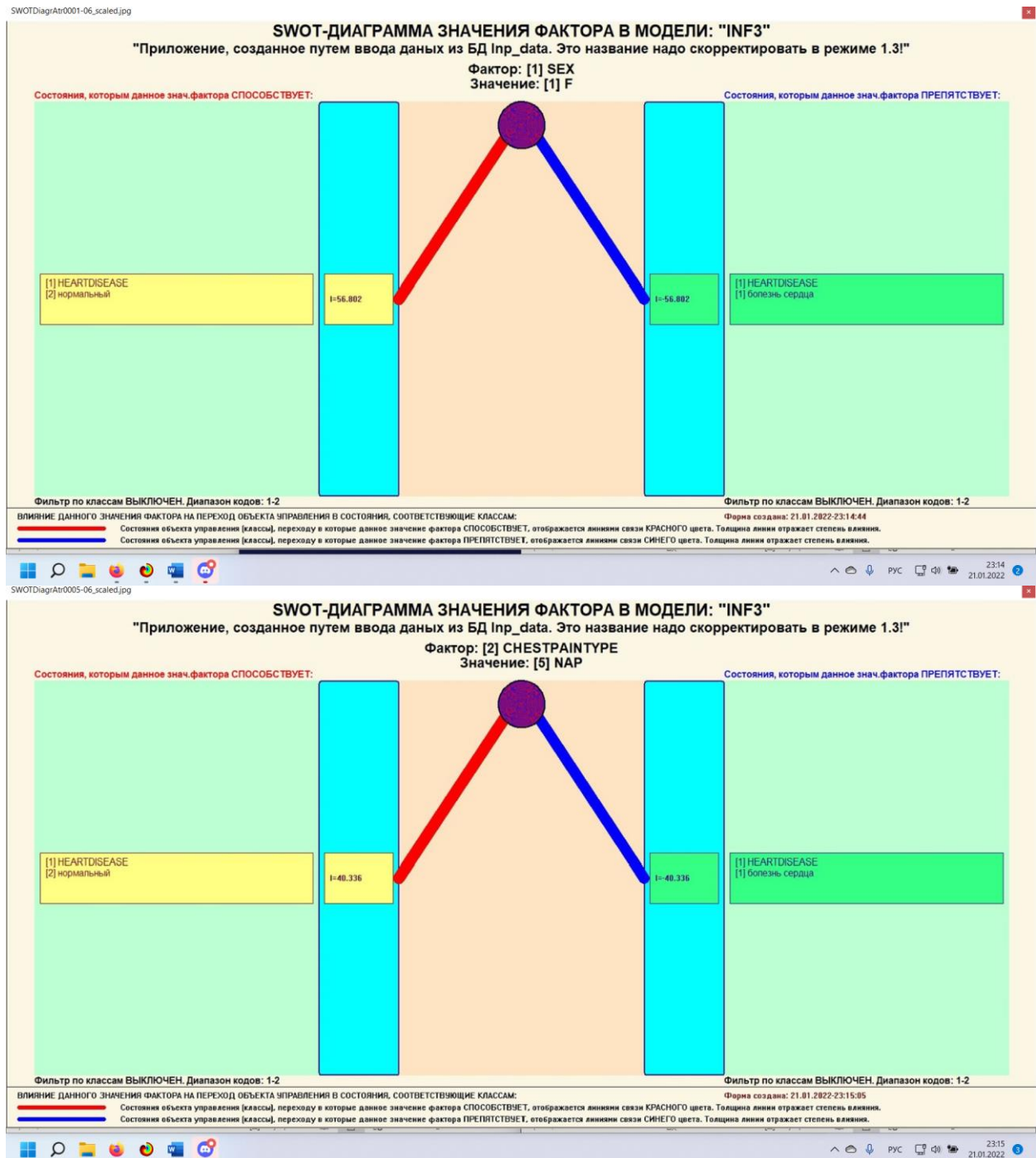


Рисунок 15. Примеры SWOT-диаграмм

В заключение отметим, что SWOT-анализ является широко известным и общепризнанным метод стратегического планирования. Однако это не мешает тому, что он подвергается критике, часто вполне справедливой, обоснованной и хорошо аргументированной. В результате критического рассмотрения SWOT-анализа выявлено довольно много его слабых сторон (недостатков), источником которых чаще всего является необходимость привлечения экспертов, в частности для оценки силы и направления влияния

факторов. Ясно, что эксперты это делают неформализуемым путем (интуитивно), на основе своего опыта и профессиональной компетенции. Но возможности экспертов имеют свои ограничения и часто по различным причинам они не могут и не хотят это сделать. Таким образом, возникает проблема проведения SWOT-анализа без привлечения экспертов. Эта проблема может решаться путем автоматизации функций экспертов, т.е. путем измерения силы и направления влияния факторов непосредственно на основе эмпирических данных. Подобная технология разработана давно, ей уже более 30 лет, но, к сожалению, она сравнительно малоизвестна – это интеллектуальная система «Эйдос».

Подзадача 4.3. Исследование моделируемой предметной области путем исследования ее модели

Если модель предметной области достоверна, то исследование модели можно считать исследованием самого моделируемого объекта, т.е. результаты исследования модели корректно относить к самому объекту моделирования, «переносить на него».

В системе «Эйдос» есть довольно много возможностей для такого исследования, но в данной работе из-за ограничений на ее объем мы рассмотрим лишь результаты кластерно-конструктивного анализа классов и признаков (когнитивные диаграммы и дендрограммы), а также нелокальные нейроны, нелокальные нейронные сети, 3d-интегральные когнитивные карты и когнитивные функции.

4.3.1. Когнитивные диаграммы классов

Эти диаграммы отражают сходство/различие классов. Мы получаем их в режимах 4.2.2.1 и 4.2.2.2 (рисунок 16).

Отметим также, что на когнитивной диаграмме, приведенной на рисунке 16, показаны **количественные** оценки сходства/различия видов школ по связанным с ними значениям их характеристик. Важно, что эти результаты сравнения получены с применением системно-когнитивной модели, созданной *непосредственно на основе эмпирических данных*, а не как традиционно делается на основе экспертных оценок неформализуемым путем на основе опыта, интуиции и профессиональной компетенции.

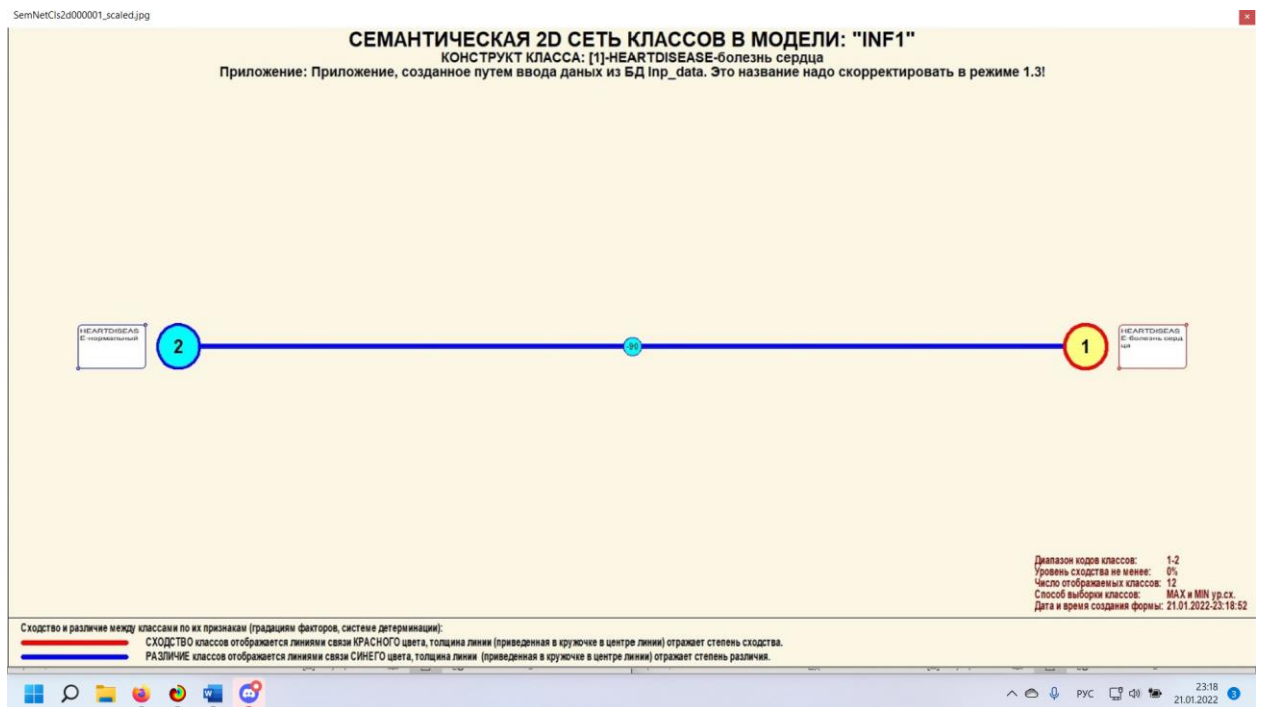


Рисунок 16. Когнитивная диаграмма классов, отражающая сходства/различия видов школ

В системе «Эйдос» есть возможность управлять параметрами формирования и вывода изображения, приведенного на рисунке 16. Для этого используется диалоговое окно, приведенное на рисунке 17.

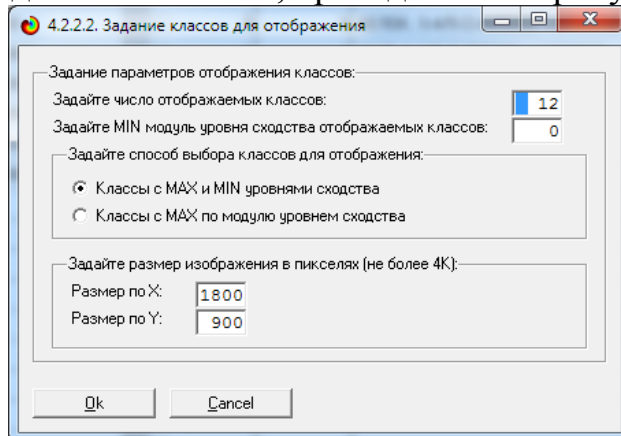


Рисунок 17. Диалоговое окно управления параметрами формирования и вывода изображения когнитивной диаграммы классов

4.3.2. Агломеративная когнитивная кластеризация классов

Информация о сходстве/различии классов, содержащаяся в матрице сходства, может быть визуализирована не только в форме, когнитивных диаграмм, пример которой приведен на рисунке 16, но и в форме агломеративных дендрограмм, полученных в результате **когнитивной кластеризации**:

Из рисунка 16 и дендрограммы мы видим, что виды школ сходны по детерминирующей их системе значений характеристик, и, следовательно, корректно ставить задачу их одновременного достижения, а другие по

системе значений этих параметров сильно отличаются, и, следовательно, являются взаимоисключающими, т.е. альтернативными и цель их одновременного достижения является некорректной и недостижимой, т.к. для достижения одного из альтернативных результатов необходимы одни значения характеристики, а для достижения другого – совершенно другие, которые не могут наблюдаться одновременно с первыми.

Из дендрограммы когнитивной агломеративной кластеризации классов, мы видим также, что все классы образуют два противоположных кластера, являющихся полюсами конструкта, по системе значений обуславливающих значениям параметров их характеристик.

4.3.3. Когнитивные диаграммы значений факторов

Эти диаграммы отражают сходство/различие значений параметров характеристик по их смыслу, т.е. по содержащейся в них информации о виде оружия. Эти диаграммы мы получаем в режимах 4.3.2.1 и 4.3.2.2 (рисунок 20).

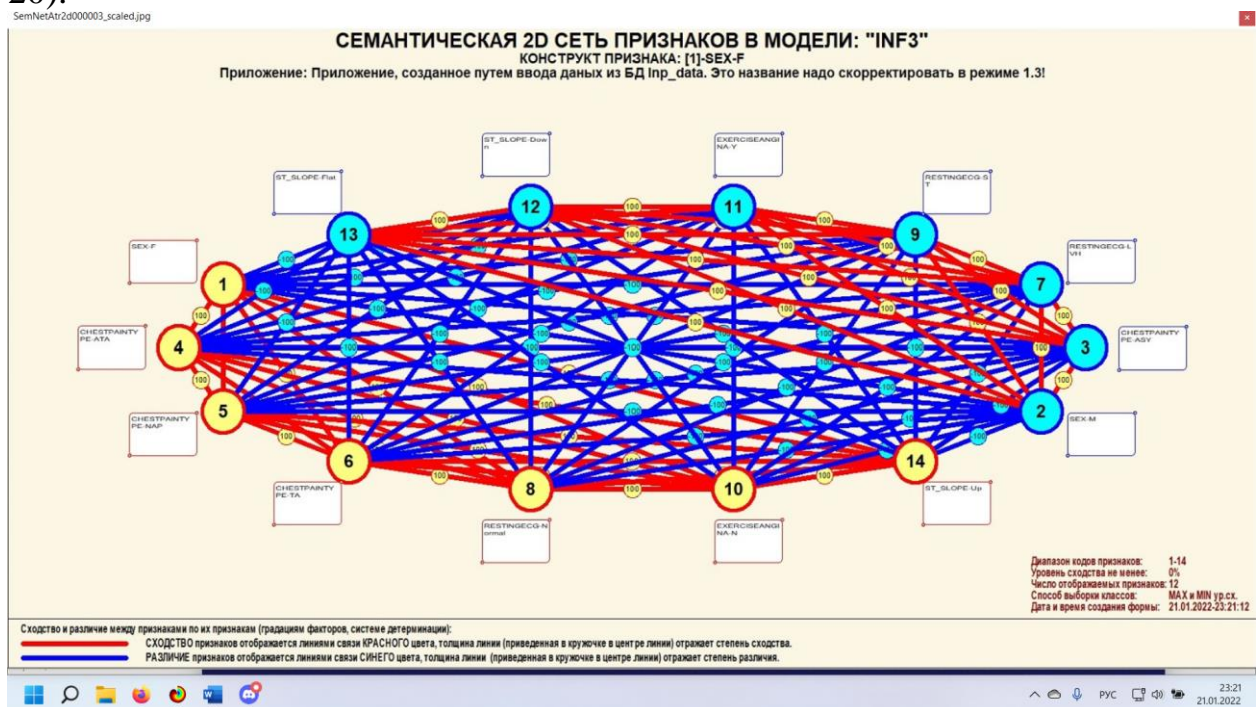


Рисунок 20. сходство/различие признаков

Из рисунка 20 видно, что все значения факторов образуют два крупных кластера, противоположных по их смыслу. Эти кластеры образуют полюса конструкта.

Отметим, что на когнитивной диаграмме, приведенной на рисунке 20, показаны **количественные** оценки сходства/различия значений факторов, полученные с применением системно-когнитивной модели, созданной *непосредственно на основе эмпирических данных*, а не как традиционно делается на основе экспертных оценок неформализуемым путем на основе опыта, интуиции и профессиональной компетенции.

Диаграмма, приведенная на рисунке 20, получена при параметрах, приведенных на рисунке 21.

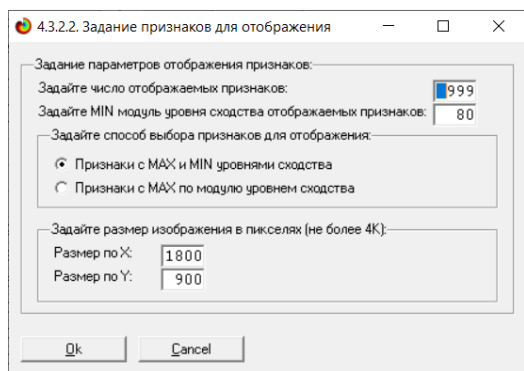


Рисунок 8. Параметры отображения когнитивной диаграммы, приведенной на рисунке 20

4.3.4. Агломеративная когнитивная кластеризация значений факторов

На рисунке 22 приведена агломеративная дендрограмма когнитивной кластеризации значений факторов и график изменения межкластерных расстояний, полученные на основе той же матрицы сходства признаков по их смыслу, что и в когнитивных диаграммах, пример которой приведен на рисунке 20.



Рисунок 9. Дендрограмма агломеративной когнитивной кластеризации признаков

Из дендрограммы на рисунке 22 мы видим, что все значения факторов образуют 2 четко выраженных кластера, объединенных в полюса конструкта (показаны синими и красным цветами).

Хорошо видна группировка признаков по их смыслу, т.е. по содержащейся в них информации о классе оружия. **Значения факторов на полюсах конструкта факторов (рисунок 22) обуславливают переход объекта моделирования в состояния, соответствующие классам, представленным на полюсах конструкта классов (рисунки 18 и 20).**

На рисунке 23 приведен график межкластерных расстояний значений признаков.

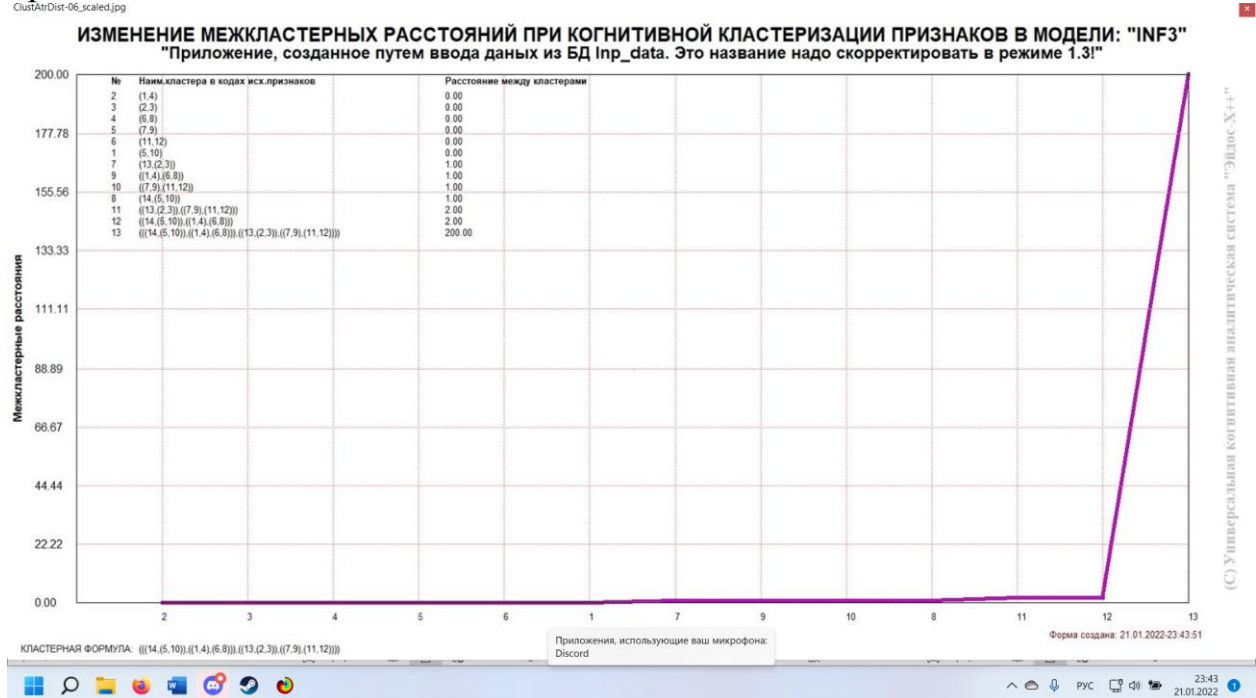


Рисунок 10. График изменения межкластерных расстояний при когнитивной кластеризации значений факторов

4.3.5. Нелокальные нейроны и нелокальные нейронные сети

На рисунке 24 приведён пример нелокального нейрона, а на рисунке 25 - фрагмент одного слоя нелокальной нейронной сети:

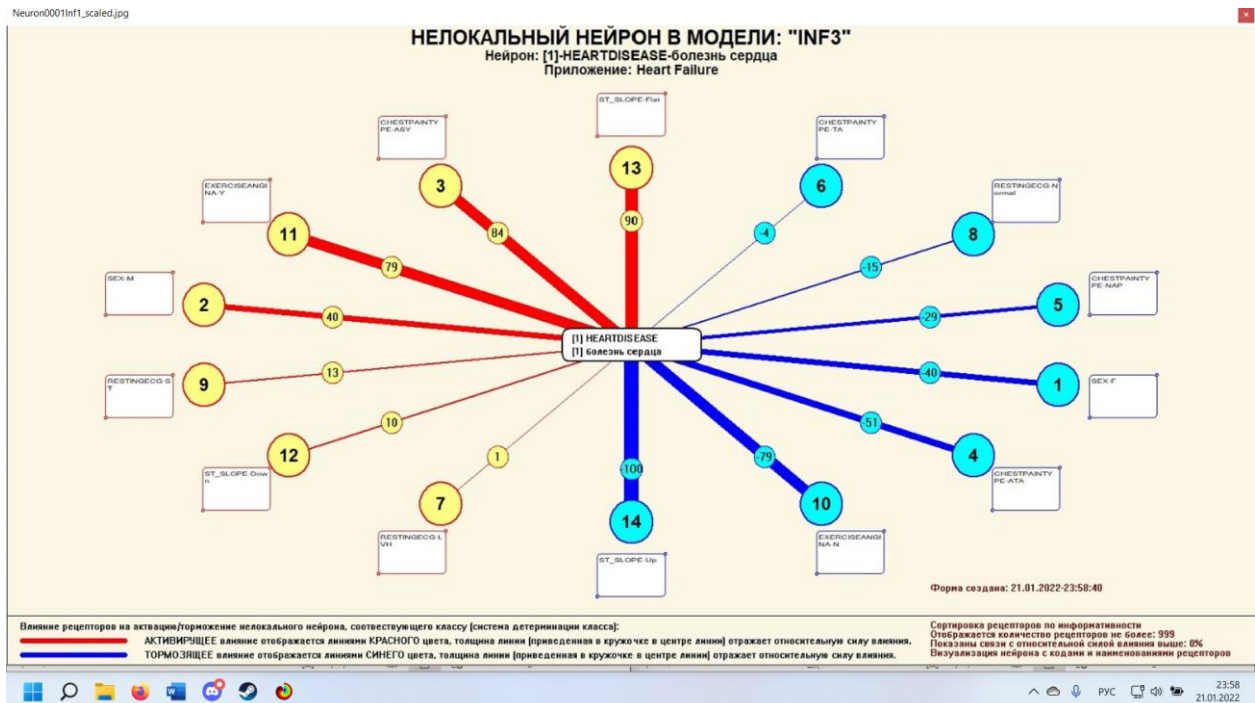


Рисунок 11. Пример нелокального нейрона, отражающего силу и направление влияния факторов на выбор школы

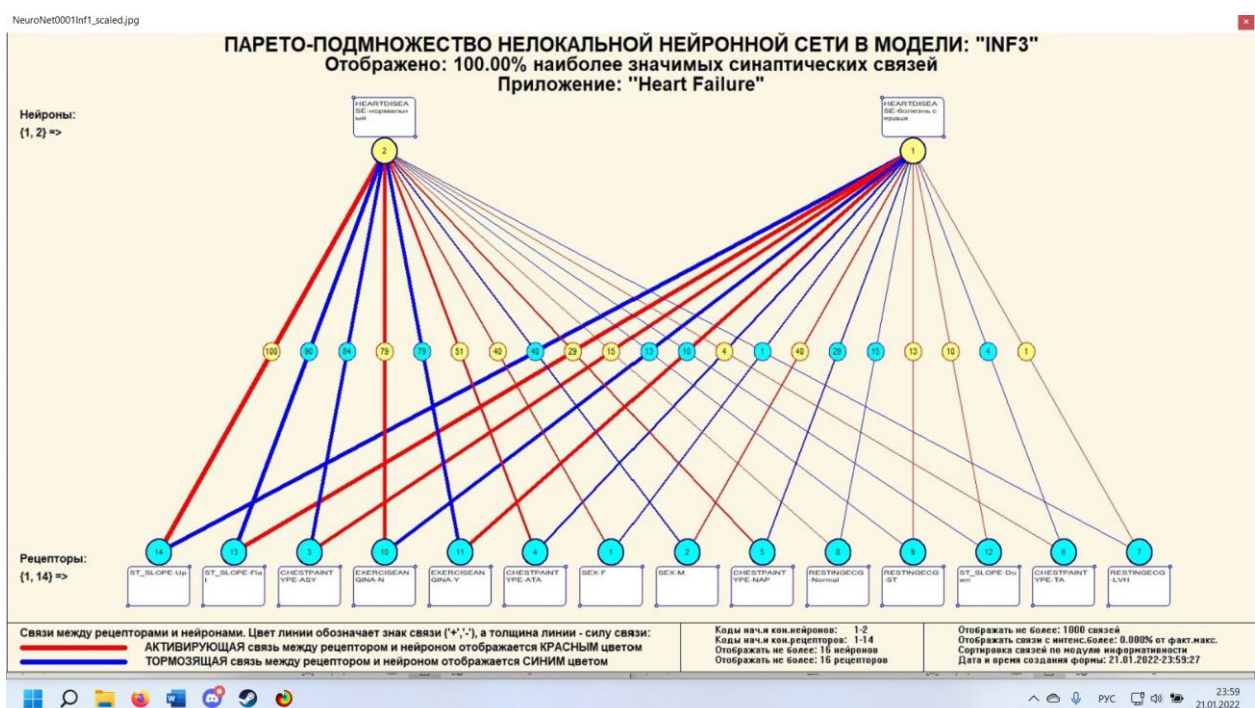


Рисунок 12. Один слой нелокальной нейронной сети, отражающий силу и направление влияния факторов на выбор вида школы

В приведенном фрагменте слоя нейронной сети нейроны соответствуют классу (виду) оружия, а рецепторы – их характеристикам. Нейроны расположены слева направо в порядке убывания силы детерминации, т.е. слева находятся результаты, наиболее жестко обусловленные обуславливающими их значениями факторами, а справа – менее жестко обусловленные.

Модель знаний системы «Эйдос» относится к ***нечетким декларативным*** гибридным моделям и объединяет в себе некоторые особенности нейросетевой и фреймовой моделей представления знаний. Классы в этой модели соответствуют нейронам и фреймам, а признаки рецепторам и шпациям (описательные шкалы – слотам).

От фреймовой модели представления знаний модель системы «Эйдос» отличается своей эффективной и простой программной реализацией, полученной за счет того, что разные фреймы отличаются друг от друга не набором слотов и шпаций, а лишь информацией в них. Поэтому в системе «Эйдос» при увеличении числа фреймов само количество баз данных не увеличивается, а увеличивается лишь их размерность.

От нейросетевой модели представления знаний модель системы «Эйдос» отличается тем, что:

- 1) весовые коэффициенты на рецепторах не подбираются итерационным методом обратного распространения ошибки, а считаются прямым счетом на основе хорошо теоретически обоснованной модели, основанной на теории информации (это напоминает байесовские сети);
- 2) весовые коэффициенты имеют хорошо теоретически обоснованную содержательную интерпретацию, основанную на теории информации;
- 3) нейросеть является нелокальной, как сейчас говорят «полно связной».

4.3.6. 3d-интегральные когнитивные карты

На рисунке 26 приведен фрагмент 3d-интегральной когнитивной карты, отражающий фрагмент около 49% СК-модели Inf3.

3d-интегральная когнитивная карта является отображением на одном рисунке когнитивных диаграмм классов и значений факторов, отраженных соответственно на рисунках 16 и 20, и одного слоя нейронной сети, приведенного на рисунке 25.

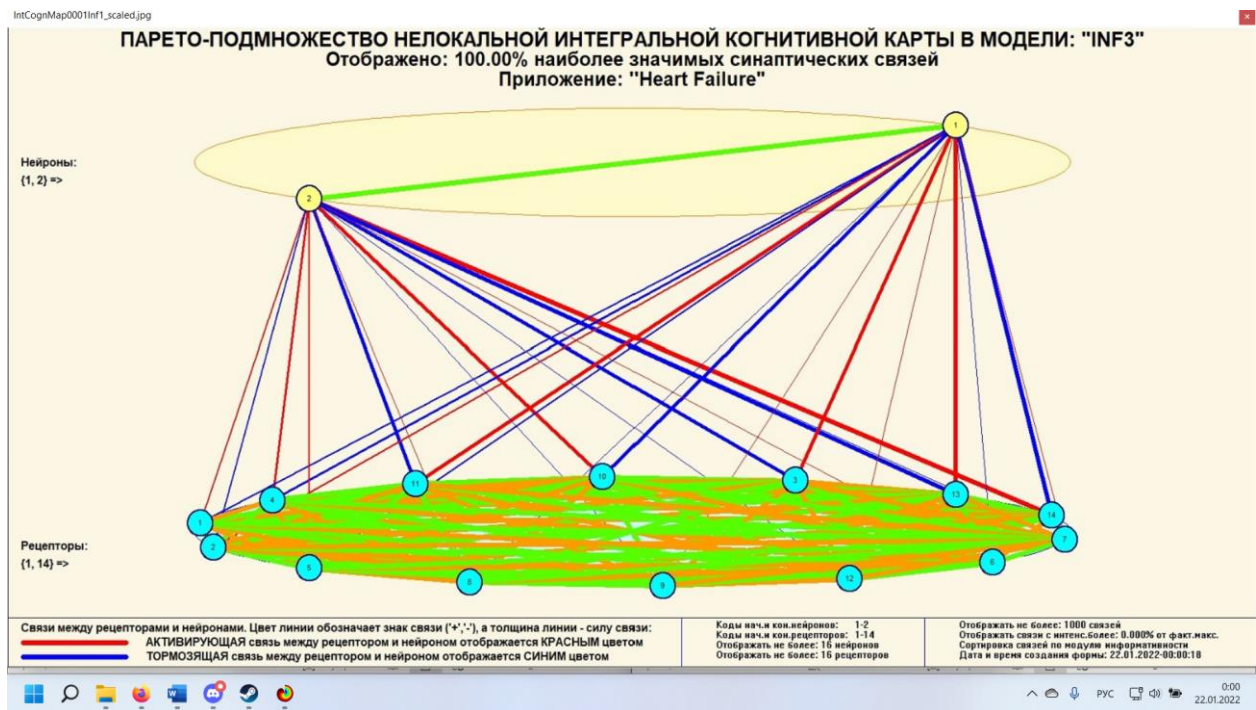


Рисунок 13. 3d-интегральная когнитивная карта в СК-модели Inf3

4.3.7. Сила и направление влияния значений факторов выбора школ и сила влияния этих факторов на выбор школы.

На рисунках 6, 7 приведены фрагменты некоторых статистических и системно-когнитивных моделей, отражающих моделируемую предметную область.

Строки матриц моделей соответствуют значениям факторов, т.е. значениям характеристик школ(градации описательных шкал).

Колонки матриц моделей соответствуют различным классам, отражающим вид (класс) школ (градации классификационных шкал).

Числовые значения в ячейках матриц моделей, находящихся на пересечении строк и колонок, отражают направление (знак) и силу влияния конкретного значения характеристики школ на конкретное значение их класса (вида).

Если какое-то значение характеристики слабо влияет на вид школы, то в соответствующей строке матрицы модели будут малые по модулю значения разных знаков, если же влияние сильное – то и значения будут большие по модулю разных знаков.

Если значение какой-либо характеристики способствует получению некоторой определенной школы, то в соответствующей этому результату ячейке матрицы модели будут положительные значения, если же понижает – то и значения будут отрицательные.

Из этого следует, что суммарную силу влияния того или иного значения характеристики школы на его класс (т.е. ценность данного значения характеристики для решения задачи квалиметрии и других задач) можно

количественно оценивать *степенью вариабельности значений* в строке матрицы модели, соответствующей этому значению характеристики школы.

Существует много мер вариабельности значений: это и среднее модулей отклонения от среднего, и дисперсия, и среднеквадратичное отклонение и другие. В АСК-анализе и системе «Эйдос» для этой цели принято использовать среднеквадратичное отклонение. Численно оно равно стандартному отклонению и вычисляется по той же формуле, но мы предпочитаем не использовать термин «стандартное отклонение», т.к. он предполагает нормальность распределения исследуемых последовательностей чисел, а значит и проверку соответствующих статистических гипотез.

Самая правая колонка в матрицах моделей на рисунках 6, 7 содержит количественную оценку вариабельности значений строки модели (среднеквадратичное отклонение), которая и представляет собой ценность значения характеристики оружия, соответствующего строке, для решения задачи квалиметрии и других задач, рассмотренных в работе.

7. Выводы

Как показывает анализ результатов численного эксперимента предложенное и реализованное в системе «Эйдос» решение поставленных задач является вполне эффективным, что позволяет обоснованно утверждать, что цель работы достигнута, поставленная проблема решена.

В результате проделанной работы, с помощью системы «Эйдос» были созданы 3 статистические и 7 системно-когнитивных моделей, в которых непосредственно на основе эмпирических данных сформированы обобщенные образы школ, изучено влияние факторов на выбор этих школ, и, на основе этого, решены задачи идентификации, классификации и исследования моделируемой предметной области путем исследования ее модели.

Со всеми моделями, созданными в данной статье, можно ознакомиться установив облачное Эйдос-приложение №209 в режиме 1.3 системы «Эйдос».

Список литературы

1. Лойко В.И. Подходы к автоматизации процессов управления производством продукции растениеводства / В.И. Лойко, С.А. Курносов, В.В. Ткаченко, Н.А. Ткаченко // Экономико-правовые аспекты реализации стратегии модернизации России: поиск модели эффективного социохозяйственного развития: сб. стат. междунар. науч.-практ. конф., Сочи, 5-9 октября 2016 г. – М.: НИИ ЭИП2016. С. 128-132.
2. Луценко Е. В., Лойко В. И., Лаптев В. Н. Системы представления и приобретения знаний : учеб. пособие / Е. В. Луценко, В. И. Лойко, В. Н. Лаптев. – Краснодар: Экоинвест, 2018. – 513 с. ISBN 978-5-94215-415-8. <https://elibrary.ru/item.asp?id=35641755>
3. Луценко Е.В. Автоматизированный системно-когнитивный анализ в управлении активными объектами (системная теория информации и ее применение в исследовании экономических, социально-психологических, технологических и организационно-

технических систем): Монография (научное издание). – Краснодар: КубГАУ. 2002. – 605 с. <http://elibrary.ru/item.asp?id=18632909>

4. Луценко Е.В. Инвариантное относительно объемов данных нечеткое мультиклассовое обобщение F-меры достоверности моделей Ван Ризбергена в АСКанализе и системе «Эйдос» / Е.В. Луценко // Политематический сетевой электронный научный журнал Кубанского государственного аграрного университета (Научный журнал КубГАУ) [Электронный ресурс]. – Краснодар: КубГАУ, 2017. – №02(126). С. 1 – 32. – IDA [article ID]: 1261702001. – Режим доступа: <http://ej.kubagro.ru/2017/02/pdf/01.pdf> 2 у.п.л.

5. Луценко Е.В. Количественный автоматизированный SWOT- и PEST-анализ средствами АСК-анализа и интеллектуальной системы «Эйдос-Х++» / Е.В. Луценко // Политематический сетевой электронный научный журнал Кубанского государственного аграрного университета (Научный журнал КубГАУ) [Электронный ресурс]. – Краснодар: КубГАУ, 2014. – №07(101). С.

1367 – 1409. – IDA [article ID]: 1011407090. – Режим доступа: <http://ej.kubagro.ru/2014/07/pdf/90.pdf> 2,688 у.п.л.

6. Луценко Е.В. Метод когнитивной кластеризации или кластеризация на основе знаний (кластеризация в системно-когнитивном анализе и интеллектуальной системе «Эйдос») / Е.В. Луценко, В.Е. Коржаков // Политематический сетевой электронный научный журнал Кубанского государственного аграрного университета (Научный журнал КубГАУ) [Электронный ресурс]. – Краснодар: КубГАУ, 2011. – №07(071). С. 528 – 576. – Шифр Информрегистра: 0421100012\0253, IDA [article ID]: 0711107040. – Режим доступа: <http://ej.kubagro.ru/2011/07/pdf/40.pdf> 3,062 у.п.л.

7. Луценко Е.В. Метризация измерительных шкал различных типов и совместная сопоставимая количественная обработка разнородных факторов в системнокогнитивном анализе и системе «Эйдос» / Е.В. Луценко // Политематический сетевой электронный научный журнал Кубанского государственного аграрного университета (Научный журнал КубГАУ) [Электронный ресурс]. – Краснодар: КубГАУ, 2013. – №08(092). С. 859 – 883. – IDA [article ID]: 0921308058. – Режим доступа: <http://ej.kubagro.ru/2013/08/pdf/58.pdf> 1,562 у.п.л.

8. Луценко Е.В. Моделирование сложных многофакторных нелинейных объектов управления на основе фрагментированных зашумленных эмпирических данных большой размерности в системно-когнитивном анализе и интеллектуальной системе «Эйдос-Х++» / Е.В. Луценко, В.Е. Коржаков // Политематический сетевой электронный научный журнал Кубанского государственного аграрного университета (Научный журнал КубГАУ) [Электронный ресурс]. – Краснодар: КубГАУ, 2013. – №07(091). С. 164 – 188. – IDA [article ID]: 0911307012. – Режим доступа: <http://ej.kubagro.ru/2013/07/pdf/12.pdf> 1,562 у.п.л.

9. Луценко Е.В. Открытая масштабируемая интерактивная интеллектуальная online среда для обучения и научных исследований на базе АСК-анализа и системы «Эйдос» / Е.В. Луценко // Политематический сетевой электронный научный журнал Кубанского государственного аграрного университета (Научный журнал КубГАУ) [Электронный ресурс]. – Краснодар: КубГАУ, 2017. – №06(130). С. 1 – 55. – IDA [article ID]: 1301706001. – Режим доступа: <http://ej.kubagro.ru/2017/06/pdf/01.pdf>, 3,438 у.п.л. http://lc.kubagro.ru/aidos/Presentation_Aidos-online.pdf

10. Луценко Е.В. Системная теория информации и нелокальные интерпретируемые нейронные сети прямого счета / Е.В. Луценко // Политематический сетевой электронный научный журнал Кубанского государственного аграрного университета (Научный журнал КубГАУ) [Электронный ресурс]. – Краснодар: КубГАУ, 2003. – №01(001). С. 79 – 91. – IDA [article ID]: 0010301011. – Режим доступа: <http://ej.kubagro.ru/2003/01/pdf/11.pdf> 0,812 у.п.л.

11. Луценко Е.В. Системно-когнитивное моделирование влияния агротехнологий на урожайность и качество пшеницы и решение задач прогнозирования, поддержки принятия

решений и исследования предметной области / Е.В. Луценко, Е.К. Печурина // Политематический сетевой электронный научный журнал Кубанского государственного аграрного университета (Научный журнал КубГАУ) [Электронный ресурс]. – Краснодар: КубГАУ, 2019. – №03(147). С. 62 – 128. – IDA [article ID]: 1471903015. – Режим доступа: <http://ej.kubagro.ru/2019/03/pdf/15.pdf> 4,188 у.п.л.

12. Луценко Е.В., Открытая масштабируемая интерактивная интеллектуальная online среда «Эйдос» («Эйдос-online»). Свид. РосПатента РФ на программу для ЭВМ, Заявка № 2017618053 от 07.08.2017, Гос.регистр.№ 2017661153, зарегистр. 04.10.2017. – Режим доступа: <http://lc.kubagro.ru/aidos/2017661153.jpg> 2 у.п.л.

13. Орлов А.И., Луценко Е.В. Системная нечеткая интервальная математика. Монография (научное издание). – Краснодар, КубГАУ. 2014. – 600 с. ISBN 978-5- 94672-757-0. <http://elibrary.ru/item.asp?id=21358220>